

Lanthanides & Actinides

Earlier these were called 'rare earth elements'. But this name is not appropriate because many of the elements are not particularly rare. e.g. Cerium is about as abundant (पूर्णतः) as copper. Except Pm which does not occur in nature, all the Lns are more abundant than iodine. The absence of Pm in nature can be explained by Mattach's Rule.

इस नियम के अनुसार " आकृदि की प्राप्ति (consequently) atomic no. वाले तत्वों के isotopes के mass no. समान हैं, लेकिन उनमें से कुछ तत्व के सभी isotopes unstable होते हैं।

Since elements 60 and 62 have seven isotopes each. There is no stable mass no. available for Pm (61)

Isotopes of $_{60}\text{Nd} \rightarrow 142, 143, 144, 145, 146, 148, 150$

Isotopes of $_{60}\text{Sm} \rightarrow 144, 147, 149, 150, 152, 154$

इसलिए Pm का stable isotope नहीं है। इसके अन्य mass no. 142 तक 150 तक वर्ती ही 1 आवश्यक मानव गिरिति सही Pm के isotopes radioactive हैं।

Lanthanides के inner-transition elements and Lanthanones के अलाई हैं। सामान्य पूरीता $\rightarrow \text{Ln}$

Electronic structures & Oxidation states of Ln^{3+}

Element	Symbol	Electronic conf. of atoms	Elec. Conf. (Ln^{3+})	Oxidn' states	Radius (\AA)		Abundance (%)
					Ln^{3+}	Atomic	
① Lanthanum	La	[Xe] 5d ¹ 6s ²	[Xe] 4f ¹ →	+3	1.032	1.88 → 18.3	-2.52
② Cerium	Ce	[Xe] 4f ¹ 5d ¹ 6s ²	[Xe] 4f ¹ → +3, +4	1.02 → 1.82 → 1.61			-2.48
③ Praseodymium	Pr	[Xe] 4f ³ 5d ⁰	" 4f ² → +3, +4	1.02 → 1.83 → 1.55			-2.47
④ Neodymium	Nd	→ " 4f ⁴	" 4f ³ → +3, +4	1.02 → 1.82 → 1.55			-2.44
⑤ Promethium	Pm	6s ¹ → " 4f ⁵	" 4f ⁴ → +2, +3	1.02 → 1.80 → 1.58			-2.42
⑥ Samarium	Sm	6s ² → " 4f ⁶	" 4f ⁵ → +2, +3	1.02 → 1.80 → 1.58			-2.41
⑦ Europium	Eu	6s ² → " 4f ⁷	" 4f ⁶ → +2, +3	1.02 → 1.80 → 1.58			-2.40
⑧ Gadolinium	Gd	6s ² → " 4f ⁷ 5d ¹	" 4f ⁷ → +3	1.02 → 1.80 → 1.58			-2.39
⑨ Terbium	Tb	6s ² → " 4f ⁹	" 4f ⁸ → +3	1.02 → 1.77 → 1.52			-2.35
⑩ Dysprosium	Dy	6s ² → " 4f ¹⁰	" 4f ⁹ → +2, +3	1.02 → 1.77 → 1.51			-2.32
⑪ Holmium	Ho	6s ² → " 4f ¹¹	" 4f ¹⁰ → +3	1.02 → 1.76 → 1.50			-2.30
⑫ Erbium	Er	6s ² → " 4f ¹²	" 4f ¹¹ → +3	1.02 → 1.75 → 1.48			-2.28
⑬ Thulium	Tm	6s ² → " 4f ¹³	" 4f ¹² → +2, +3	1.02 → 1.75 → 1.48			-2.27
⑭ Ytterbium	Yb	6s ² → " 4f ¹⁴	" 4f ¹³ → +2, +3	1.02 → 1.75 → 1.48			-2.25
⑮ Kurchium	Lu	6s ² → " 4f ¹⁴ 5d ¹	" 4f ¹⁴ → +3	1.02 → 1.75 → 1.48			-2.25 ↑

↓ Oxidation states
 ↓ Unstable
 ↓ Bold
Most stable

↑ in small bracket
 ↓ in small bracket

$$\text{E}_{\text{Ln}^{3+}/\text{Ln}}^{\circ}$$

Important points of electronic structure & oxidation states

- (1) Lns are characterised by uniform +3 oxidation state shown by all the Lns. They typically form compounds which are ionic & trivalent.
- (2) लॉन्स की **+3** ही मुख्य व्यापक अवस्था बताती है।
- (3) Ln का सामान्य electronic configuration $\rightarrow [Xe] 4f^{1-14} 5d^0-1 6s^2$
- (4) The 4f es are well shielded by 5s and 5p electrons. Consequently the 4f es do not take part in bonding. They are neither removed to produce ions nor they take part significantly in crystal field stabilisation of complexes. The octahedral splitting of f-orbitals (Δ_0) is only about 1 KJ mol⁻¹.
- (5)* Ln²⁺ द्वारा Ln⁴⁺ ions, अमियातों³⁺ Ln³⁺ ions से अस्थायी है।
- (6) All the Lns generally shows +3 oxidation state as most stable oxidation state BaO_2
 - (a) The sum of first three ionisation energies for each element is very low.
 - (b) +3 अवस्था में hydration energy ज्यादा max. होती है।
 - (c) +3 अवस्था में lattice energy भी ज्यादा अधिक होती है।
 - (d) +3 state में standard reduction potential भी अधिक नेगेटिव होता है।

⑦ Oxidation states +2 and +4 also occurs, particularly when they lead to

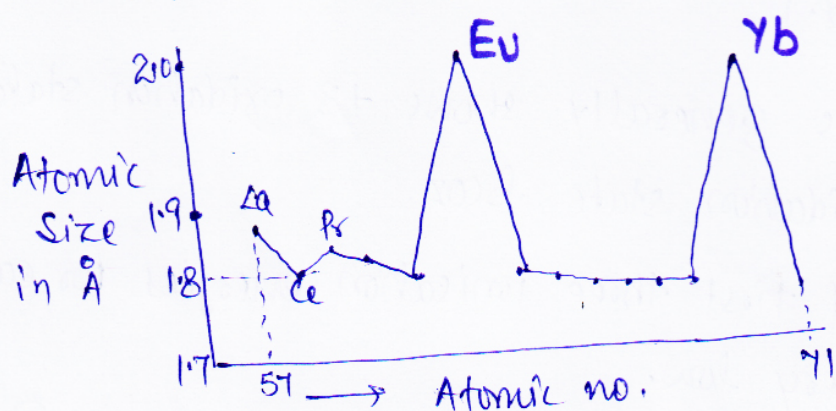
- (a) a noble gas configuration e.g. Ce^{+4} (f^0)
- (b) a half filled f' subshell e.g. Eu^{2+} & Tb^{4+} (f^7)
- (c) a completely filled f' subshell e.g. Yb^{2+} (f^{14})

⑧ +2 and +4 oxidation states जो नाहीं की न होती है वह अपूर्ण तरीके से प्रत्येक लैंगिक वर्षा विभागीय बनती है।
e.g. Sm^{2+} (f^6), Tm^{2+} (f^{13}), Pr^{4+} (f^1), Nd^{4+} (f^2) etc.

⑨ Stability order of +2 state $\Rightarrow \text{Eu} > \text{Yb} > \text{Sm} > \text{Tm} \approx \text{Nd}$

⑩ Stability order of +4 state $\Rightarrow \text{Ce} > \text{Eu} \approx \text{Tb} \approx \text{Pr} > \text{Nd} \approx \text{Dy}$

⑪ Eu and Yb have exceptional large atomic size b'coz these elements involves only two es in metallic bond formation and other elements involves 3 es.



⑫ Ce का atomic size अपेक्षा से बाकी कम है और इसमें metallic bond formation में 4 es भाग लेते हैं।

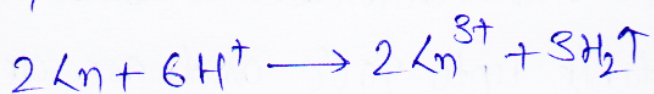
(B) सामान्यतया Lns higher oxidation states, oxides और fluorides के साथ भी Lower O.S., bromides और iodides के साथ प्रकटित होते हैं।

Chemical Properties

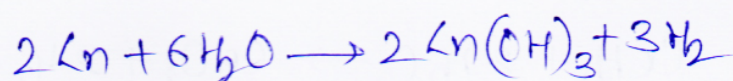
- सभी heavier Lns की reactivity, lighter Lns की अपेक्षा अचूर्ण है, अधिक heavier Lns सतह पर oxides की layer बनाते हैं।
- Lns की किसी oxidation states की reactivity फ्रॉन्ट-मिल होती है।

chemistry of +3 state

- सभी Lns, acids के साथ जिस करके H_2 gas देते हैं।



- सभी Lns, cold water के साथ व्यक्ति गति की, तथा गरम उर्वरक तंत्रजी की reaction होती है।

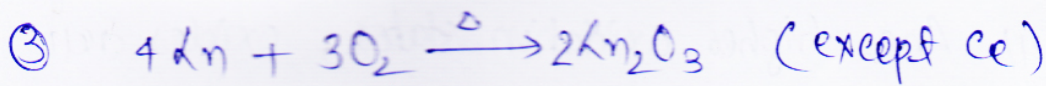


सभी $Ln(OH)_3$ के अलग विलयन में NH_4OH मिलाने पर, जिलेट्रिटी बनती है। यह ppt ionic तथा basic होता है।

Basic character of $Ln(OH)_3$:- ये $Ln(OH)_3$, $Ca(OH)_2$ की तरह एक शारीर तथा $Al(OH)_3$ की अपेक्षा अधिक basic होते हैं।

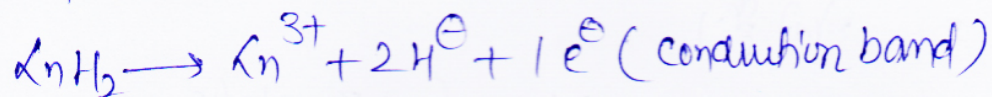
$Ln(OH)_3$ की शारीरता, $Ca(OH)_2$ से $Al(OH)_3$ से ज्यादा है, ionic size छोटी के कारण इसका गुण है।

Base strength order $\rightarrow La(OH)_3 > \dots > Lu(OH)_3$

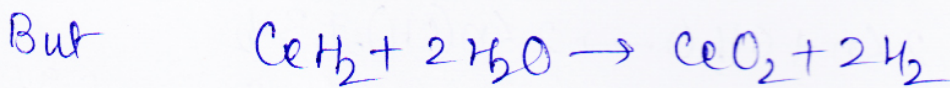
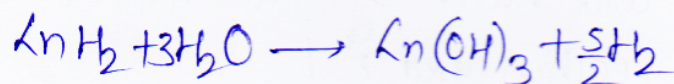


These oxides are ionic and basic. Base strength decreases as the ions get smaller.

④ Ln form solid hydrides of formula LnH_b on heating (300°C - 400°C) with H_2 . Eu and Yb forms salt like hydrides and contains M^{2+} and two H^- . Other Lns form hydrides LnH_b which are black, metallic and conduct electricity. These hydrides can be better formulated as

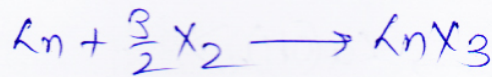


Due to e^- of conduction band LnH_b show black color, metallic character and electrical conductivity. These hydrides are thermally stable upto 900°C and are decomposed by water.

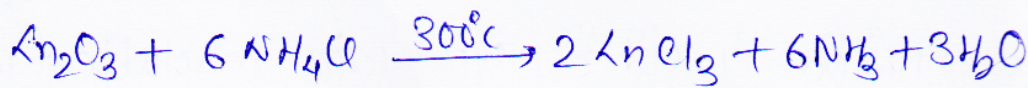


जब LnH_b को अधिक प्रेरणा पर H_2 के साथ गरम करते हैं तो LnH_3 (i.e. $Ln^{3+}, 3H^-$) का निम्नलिखित होता है। LnH_b , colourless, metallic conduction विद्युति देते हैं (Eu की विशेषता)। LnH_b की जब गरम करते हैं तो LnH_3 के रूप में बदलते हैं।

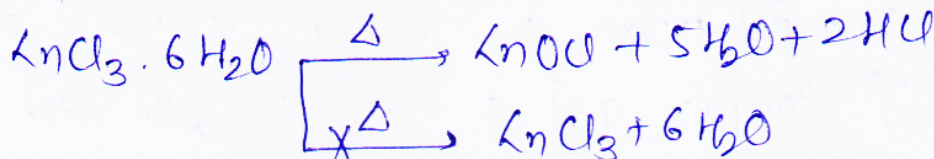
⑤ Lns तथा halogens की गरम करने से, इनके trihalides बनते हैं।



LnX_3 की विलायत में जल सकते हैं।



जो hydroxides हैं जरूर करते हैं; दोनों oxohalides होते हैं



But heating of $\text{CeX}_3(\text{H}_2\text{O})_n$ results in CeO_2 . Bromides

जारी iodides, chlorides नहीं होते तथा अपहरण करते हैं।

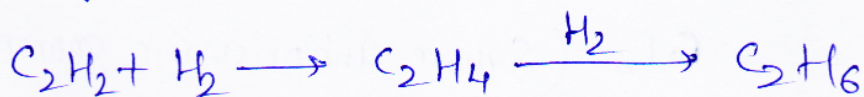
⑥ Formation of carbides:-



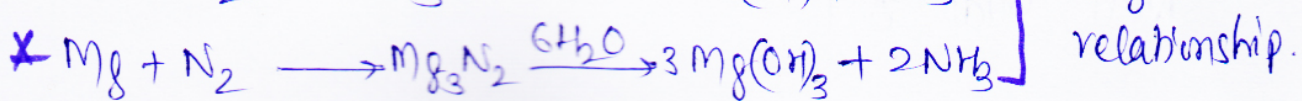
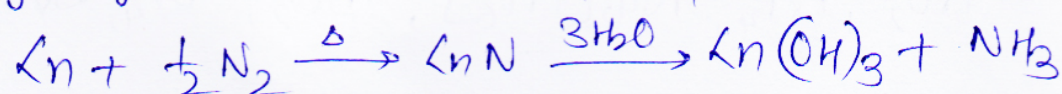
LnC_2 can be formulated as $\text{Ln}^{3+} + \text{C}_2^{2-} + \bar{e}$
(conduction band में)



Some amount of C_2H_4 & C_2H_6 are also formed due to hydrogenation of C_2H_2 .



⑦ At elevated temp. Lns also react with N, P, As, Sb & Bi giving LnN etc. and hydrolysed same as AlN



⑧ Ln^{3+} ions के विलयन में F^- ion या HF डाका जाएँ तो, इनके fluorides अपूर्णप्रति ही जाते हैं। जो उत्पाद insoluble होते हैं। इसी कारण प्रमुख विलयन में इसका उपयोग LnS के परीक्षण में किया जाता है। परीक्षण के दौरान F^- के अधिक मात्रा डालने पर $(\text{MF}_{n-1})^{2+}$ complex बनने के कारण भी घूलने आगते हैं।

Chemistry of +4 Oxidation State

① Most stable Ln^{4+} ion which can exist even in aq. sol $\xrightarrow{\text{Ce}^{4+}}$

+4 oxidation state में इसका बोर्ड आकार एवं अधिक आपूर्ण के लिए यह ion अन्योजित ही जाता है। और यह माध्यम तेज़ अलीप जही ही ही, यह अन्योजित आयन, hydrolysed होकर कुछ polymeric species तथा H^+ ion बनाते हैं। इसलिए volumetric analysis में, युरेट जिम्मेदारी Ce^{4+} विलयन का में लिया जाता है, उसे strong acid से धीना या स्ट्रिंग बरना पानी से धीने पर, burette में बाहर की तरफ hydrated ions बिपक्त रहते हैं।

② $\text{CeF}_2 + \frac{1}{2}\text{F}_2 \longrightarrow \text{CeF}_4$ (Square antiprismatic geometry)

③ Following Ln^{IV} compounds are not stable in water.

$\text{PrO}_2, \text{PrF}_4, \text{Na}_2[\text{PrF}_6], \text{TbO}_2, \text{TbF}_4, \text{DyO}_2, \text{DyF}_4, (\text{Cs}_3[\text{DyF}_7]$ etc.

④ Ce^{4+} ions की की volumetric analysis तथा organic reactions में oxidising agent के रूप में काम होते हैं।

Chemistry of +2 oxidation state

* The most stable Ln^{2+} ion is Eu^{2+} which is stable in water but the solution is strongly reducing.

* EuH_2 can be made as a solid by reducing EuCl_3 .



* An aqueous solution of Eu^{3+} can be reduced by Mg, Zn, Zinc-amalgam or electrolytically to give Eu^{2+} .

* EuH_2 is ionic and similar to CaH_2 .

* The states Nd(II), Pm(II), Sm(II), and Gd(II) are only found in solid dihalides LnCl_2 and LnI_2 . These dihalides can be made



* The dihalides such as LaI_2 and NdI_2 tend to be nonstoichiometric. These show metallic conduction, and are better represented as $\text{La}^{3+} + 2\text{I}^- + 1$ electron

Colour and Spectral properties

Ln^{3+} ions are generally coloured both in the solid state and in aq. solution. These colours (spectra) result from f-f transitions, which are **Kaporte** forbidden. Thus the colours are pale. Generally colours of Ln^{3+} ions are unaffected with change of ligands becoz

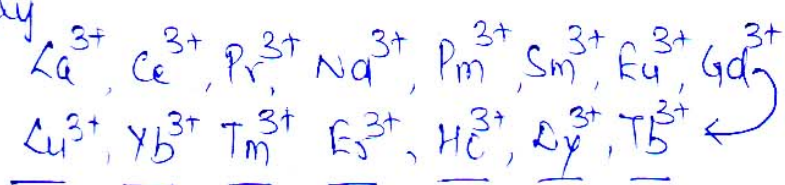
Molecular Orbital Theory

If orbitals are well shielded by 5s and 5p subshell electrons.

सामान्यतया, समान वितरण में अधिकारी electrons रखने वाले Ln^{3+} ions का रंग भी समान होता है।

Ln^{3+} ions	Table → Colours of Ln^{3+} ions	colours
	No. of unpaired e(s)	
① La^{3+} and Ce^{3+}	ZERO	colourless
② Ce^{3+} and Yb^{3+}	ONE	colourless
③ Pr^{3+} and Tm^{3+}	TWO	green
④ Nd^{3+} and Er^{3+}	Three	reddish
⑤ Pm^{3+} and Ho^{3+}	four	pink yellow
⑥ Sm^{3+} and Dy^{3+}	FIVE	Pale Yellow
⑦ Eu^{3+} and Tb^{3+}	SIX	Pale Pink
⑧ Gd^{3+}	Seven	colourless

Simply



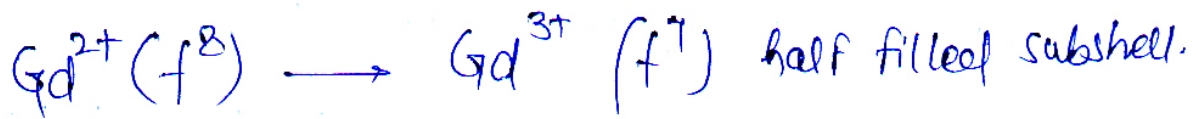
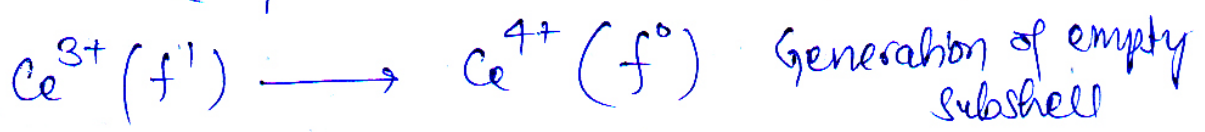
Since d-d spectra absorption bands whose position changes from ligand to ligand, and the width of the peak is greatly broadened, because of the vibration of the ligand. जिन f-f transition हारा उपरी transition bands sharp होती है।

कर्मिक f-orbitals, 5s द्वारा 5p subshell की shielded होते हैं। इसलिए ligands के vibrations, f-f transitions पर कोई प्रभाव नहीं डालते हैं।

Due to sharp absorption bands, Lns are used for wavelength calibration of instruments.

Lns की 4f → 5d transitions की तुलना में, Lns की 4f → 4f transitions के corresponding peaks, broad होते हैं ताकि उन bands की position, ligand की nature की प्रभावित होती है।

Ce^{3+} द्वारा Gd^{2+} are colorless bccz they do not absorb in visible region. But shows strong absorptions in the UV-region due to transition from 4f to 5d (Laporte allowed transitions).



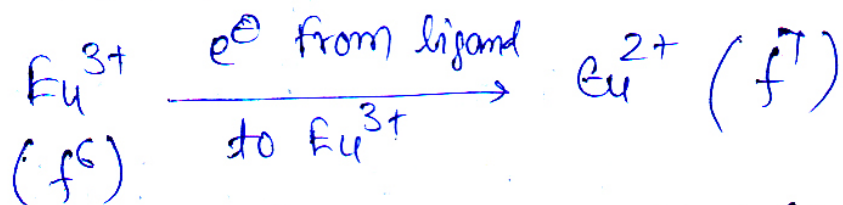
charge transfer spectra

These spectra are possible due to transfer of an e^- from ligand to metal or vice versa.
for example -

- ① Ce^{4+} shows orange red colour due to

② charge transfer from ligand to metal. ($L \rightarrow M$).

③ Compounds of Eu^{3+} , with reducing anions are yellow, due to electron transfer from ligand to metal.



④ The blood red color of $\text{Sm}^{2+} (f^6)$ is also due to charge transfer from ligand to metal.

Magnetic Properties

The magnetic moment of LnS is different from d-block elements although, both contains same no. of unpaired electrons. In d-block elements, magnetic moment due to orbital motion of electrons is quenched by ligands. So that their magnetic moment can be calculated using the simple, spin only formula i.e.

$$\mu_S = \sqrt{n(n+2)} \quad ① \text{ where } n = \text{no. of unpaired electrons.}$$
$$= \sqrt{4S(S+1)} \quad ② \text{ where } S = \text{Total spin quantum no.}$$

But in LnS , we can not neglect the magnetic moment generated the orbital motion of electrons, bcoz orbital magnetic moment is not quenched by ligands due to well shielding by $5s$ and $5p$ electrons.

(3)

अतः electrons की spin motion के हारा उत्पन्न magnetic moment के साथ, orbital motion के हारा उत्पन्न magnetic moment के consides करना पड़ेगा। निम्न formula हारा (spin + orbital) magnetic moment निकला जा सकता है वहाँ परिये कि ये कोनी magnetic moment के दूसरे से interact नहीं करते (स्प्रिन्ट spin orbital coupling नहीं है)

$$H_{(S+L)} = \sqrt{4S(S+1) + L(L+1)} \quad \text{GZC}$$

- (3) L = Resultant orbital momentum quantum no.

Russel and Sowden ने बताया कि Ln^{3+} spin orbit coupling होता है। अतः निम्न formula के इनमें magnetic moment निकालते हैं।

where

$$H_{(S+L)} = g \sqrt{J(J+1)} = H_J + \gamma \quad \gamma = \text{Landé splitting factor}$$

$$g = 1 + \frac{J(J+1) + S(S+1) - L(L+1)}{2J(J+1)} = \left[\frac{3}{2} + \frac{S(S+1) - L(L+1)}{2J(J+1)} \right] \quad - (4)$$

eqn - ④ के पास m-moment के मान, प्राकौणिक बिंदुओं के अनुगमन एवं वर्तने हैं।

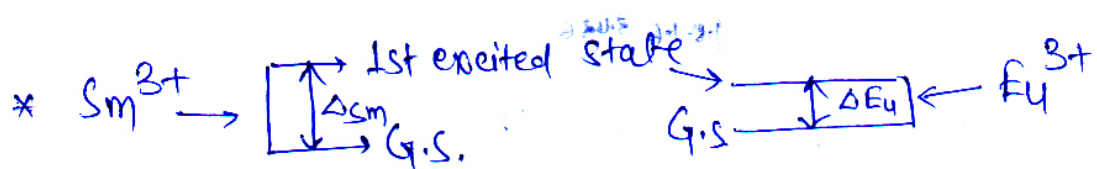
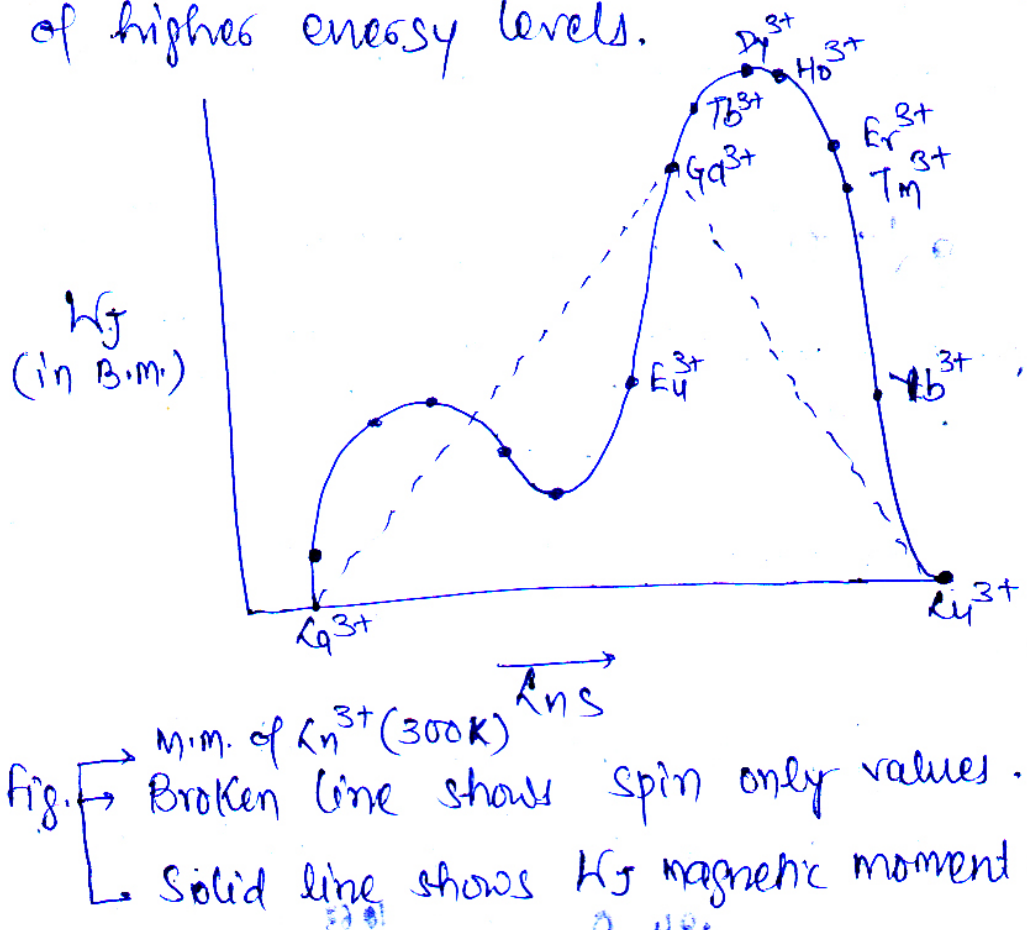
Table - Magnetic moment values of Ln^{3+} ions

Ion	Ce^{3+}	Pr^{3+}	Nd^{3+}	Pm^{3+}	Sm^{3+}	Eu^{3+}	Gd^{3+}	Tb^{3+}	Dy^{3+}	Ho^{3+}	Er^{3+}	Tm^{3+}	Yb^{3+}	Lu^{3+}	
Cal.(H)	0.0	2.54	3.58	3.62	2.68	1.84	0	7.94	9.72	10.63	10.60	9.57	7.63	4.50	0.0
Ob.(H)	0.0	2.3-2.5	3.4-3.6	3.5-3.6	2.7	1.5-1.6	3.4-3.6	7.8-8.0	9.4-	10.3-	9.4-	7.1-	4.4-	0.9	

from above values, it is clear that the agreement for Eu^{3+} is very poor, and that for Sm^{3+} is not very good.

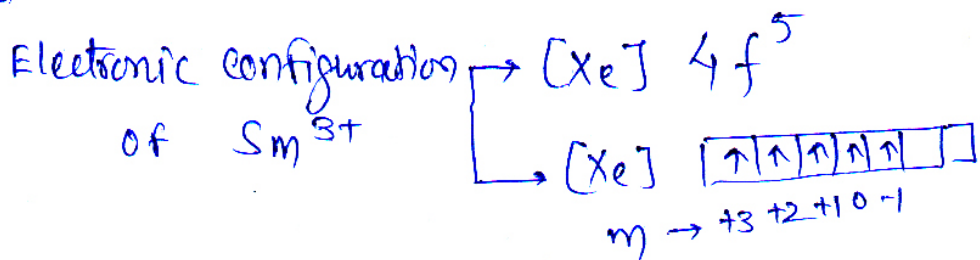
24

The reason is that with Eu^{3+} , the spin orbit coupling constant is only about 300 cm^{-1} ($\approx 4 \text{ KJ mol}^{-1}$). This means that the difference in energy between the ground state and the 1st excited state is small. Thus the energy of thermal motion is sufficient to promote some es and partially populate the higher state. Because of this, Hg for Eu^{3+} is found more than zero i.e. 3.4 - 3.6. But the Hg of Eu^{3+} at low temp. is close to zero as expected, b'coz low temp. prevents the population of higher energy levels.



Problem → Calculate M.M. of Sm^{3+} ion in B.M. and determine its Ground state term symbol.

Solution →



∴ spin multiplicity = $2S+1 = 2 \times \frac{5}{2} + 1 = 6$

value of L = +5 \rightarrow H,

\therefore Less than H.F. subshell तकि, $J = L-S = 5-\frac{5}{2} = \frac{5}{2}$

Thus G.S.T.S. for $\text{Sm}^{3+} = 2S+1 L_J = {}^6\text{H}_{5/2}$

Calculation of M.M. →

$$\because K = 8\sqrt{J(J+1)} \quad \& \quad g = 1 + \frac{J(J+1) + S(S+1) - L(L+1)}{2J(J+1)}$$

$$g = 1 + \frac{2.5(2.5+1) + 2.5(2.5+1) - 5(5+1)}{2 \times 2.5(2.5+1)} = \frac{2}{7}$$

$$\text{Or } K = \frac{2}{7} \sqrt{2.5(2.5+1)} = \frac{2}{7} \times \sqrt{8.75} = \frac{2}{7} \times 2.95 = 0.84$$

Lanthanide Contraction

Lns की La वे L₄ वे B.M. में बढ़ती है, Atomic size में घटाती है (about 1.2 Å) बहुत ज्यादा है इसी के L_n contraction कहते हैं।

Reasons of L_n contraction:

- ① La वे L₄ वे B.M. में घटती है, Atomic size भी घटती है और, Nuclear charge भी घटता जाता है, इसके

- (16) (i) पर तास्थित आडविन बहुत ही क्रियो Ln^{+3} -ion संकृप्त हो जाता है, इसके radius का मान कम हो जाएगा।
- (2) इसी पूकार La^{+3} की तरफ जब पर, 4f electrons की वृद्धि के कारण, screening effect इह जाता है कि atomic or ionic radius का मान ज्यहाँ जाएगा। यह दोनों पूकार, एक दूसरे के विपरित काम करते हैं, लेकिन screening effect कमजूर दोनों के कारण, ($+3$ की आंखी वाला e^{-} (n-2) shell में जाता है), La^{+3} की तरफ जब जाने से आडवर में कम आयत है। d-block elements में आंखी वाला e^{-} (n-1) shell में जब जाने के कारण, यह screening effect भीष्ट strong परिवर्तित होता है। ऐसे d-block elements में atomic size में इतने कम अंतर बढ़ते हैं तथा मध्य में यह मान अलग होता है।

Ln Contraction के परिणाम (Consequences)

- (1) Atomic size of 5d series elements is comparable with 4d series elements. Thus pairs of elements such as Zr/Hf , Nb/Ta and Mo/W are almost identical in size. The close similarity of properties in such a pair makes chemical separation very difficult.
- (2) Occurrence of γ with heavier Ln ! - It is happened due to same size and same electronic configuration.

$$\left. \begin{array}{l} \gamma^{3+} = 1.894 \text{ Å} \\ \text{Ho}^{3+} = 1.89 \text{ Å} \\ \text{Er}^{3+} = 1.88 \text{ Å} \end{array} \right\} \text{इन्हें पूकार करना, उनकी कठिन काम है।}$$

- ③ Density of 5d series elements is high due to Ln contraction. It is approximately double, as compare to 4d series elements.
- ④ The hardness, m.p., and B.P., of the elements all increases from Ce to Lu. This bcoz of the attraction between the atoms increases as the size decreases.
- ⑤ Basic characters of Ln_2O_3 continuously decreases from Ce to Lu.
- ⑥ Base strength $\rightarrow \text{La(OH)}_3 > \dots > \text{Lu(OH)}_3 > \text{Al(OH)}_3$
- ⑦ Ionisation Potential:- Ln contraction $\xrightarrow{\text{is}} \text{IK}_{\text{eff}}$, 4d series elements $\xrightarrow{\text{is}} \text{Bd}_{\text{eff}}$ और 5d series elements $\xrightarrow{\text{is}} \text{Bd}_{\text{eff}}$ हैं।

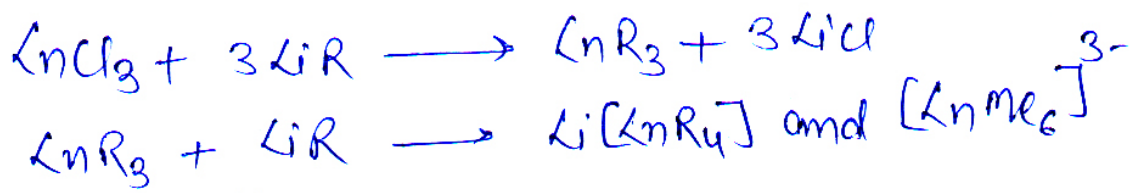
Complex formation

- ① Ln^{3+} ions $\xrightarrow{\text{is}}$ बड़े होते हैं (as compare to transition metal ions e.g. $\text{Ln}^{3+} = 1.03 - 1.86 \text{ \AA}$, $\text{Cr}^{3+} = 0.615 \text{ \AA}$, $\text{Fe}^{3+} = 0.55 \text{ \AA}$) जिसमें कम से कम लगातार तीन ग्रूप होते हैं, जिसके लिए यह ही विकल्प है।
- ② इसमें Complex formation के nature फिल्माते हुए हैं:
- $$\text{Ln}^{2+} < \text{Ln}^{3+} < \text{Ln}^{4+}$$
- ③ विकल्प प्रकार के Ligands के लिए, Ln^{3+} ions stable complex बनाते हैं।
- | S.No. | Type ligand | Example |
|-------|--|--|
| ① | Ligands having O-donor atom | EDTA^{4-} ; citric acid, oxalic acid, acetyl acetone, |
| ② | " " " N-donor atom \rightarrow ethylene diamine, NCS^- etc. | |

(18)

- ④ β -diketone complexes of Eu^{3+} and Pr^{3+} dissolved in organic solvents are used as Lanthanide shift reagents.
- ⑤ The most common co-ordination no. are 7, 8 & 9.
- ⑥ Co-ordination no. below 6 are uncommon and occur only with bulky ligands such as (2,6-dimethylphenyl) and $[\text{N}(\text{SiMe}_3)_2]^{\ominus}$
- ⑦ Co-ordination no. 10 and 12 occurs with the largest Lns and small chelating ligands such as NO_3^{\ominus} and SO_4^{2-} .
- ⑧ F^{\ominus} के साथ, विशेष रूप से छोटे आकर वाले Ln^{3+} ions, LnF^{2+} याकर के संतुल बनाते हैं। इस याकर के संतुल C^{\oplus} ions के साथ भी बनते हैं।
- ⑨ Lns do not form complexes with π -bonding ligands and the lack of π -bonding is attributed to the unavailability of the f-orbitals for bonding.
- ⑩ The explanation of Co-ordination no. such as 10 and 12 is difficult, bcoz involvement of one 5-orbital, three p-orbitals and five d-orbitals accounts for a max. Co-ordination no. of 9. it imply either participation of f-orbitals in bonding or bond orders of ~~the~~ less than one.

There are few organic compounds of Lns



Some Ln Complexes

Co-ord. No.	Complex	Shape
4	$[\text{Lu}(\text{2,6-dimethylphenyl})_4]^{\oplus}$	Tetrahedral
6	$[\text{Er}(\text{NCS})_6]^{3-}$	Octahedral
7	$[\text{Y}(\text{acac})_3 \cdot \text{H}_2\text{O}]$	Monocapped trigonal prism
8	$[\text{La}(\text{acac})_3 \cdot (\text{H}_2\text{O})_2]$	Square antiprism
8	$[\text{Ce}(\text{acac})_4]$	Square antiprism
8	$[\text{Eu}(\text{acac})_3(\text{phenanthroline})]$	Square antiprism.
9	$[\text{Nd}(\text{H}_2\text{O})_9]^{3+}$	Tri-capped trigonal prism
12	$[\text{Ce}(\text{NO}_3)_6]^{2-}$	Icosahedral (NO_3^{\ominus} =bidentate)

Minerals of Lanthanides

Lns के Occurance के अलए पर्याप्त ज्ञान है।

① La₅₄ to Eu₆₃ = Lighter Lns = Ce group Lns (प्रमाणता = e)

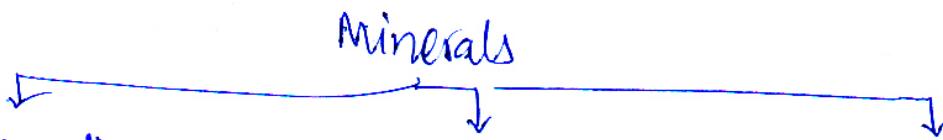
② Gd₆₄ to Lu₇₁ = heavier Lns = Y group Lns. (प्रमाणता = Y)

Pm के बहुत कम Ln नाम हैं।

पांच गिरे हैं। Pm एक radioactive, β⁻ emitter है ($t_{1/2} = 2.64$ years)

(20)

जैव अभि वायरिंग के फिस्डन (fission) से प्राप्त होता है। इसे
ion exchange method द्वारा पृथक किया जाता है।



It contains phosphates of La, Ce, Pr and Nd.
Small amounts = phosphate of Y, Th and heavier Lns.

It is a mixture of fluorocarbonates
 $M^{III}CO_3F$.

Orthophosphate of Lns (lighter), ThO_2 & U_3O_8 .

* India में Travancore के कमुखी तटी पर Monazite पाया जाता है।
Monazite mineral में Lns की प्राप्ति

(1) Concentration of the mineral:-

Crushed Monazite sand → [पानी की लोधी से light impurities हटाते हैं।
+ magnetic cone. method द्वारा, magnetic impurities कुराते हैं।
(प्रति = ThO_2 (15%), Ce_2O_3 (30%), P_2O_5 (29%), SiO_2 (1.5%).
तेह ब्रॉफ Lns (30%))]

(2) Cracking of minerals → एमी. conc. H_2SO_4 ब्रॉफ
conc. $NaOH$ तक ताप में लेते हैं।

सारणी 5. संक्रमण तत्वों के घनत्व (g/cm³)

Sc	Ti	V	Cr	Mn	Fe	Co	Ni	Cu
3.0	4.5	6.1	7.2	7.4	7.9	8.9	8.9	9.0
Y	Zr	Nb	Mo	Tc	Ru	Rh	Pd	Ag
4.5	6.5	8.6	10.2	11.5	12.2	12.4	12.0	10.5
La	Hf	Ta	W	Re	Os	Ir	Pt	Au
6.2	13.1	16.6	19.3	21.0	22.6	22.5	21.5	19.3

सारणी 4. संक्रमण तत्वों की धात्विक त्रिज्याएँ (Å)

I श्रेणी	Sc ₂₁	Ti ₂₂	V ₂₃	Cr ₂₄	Mn ₂₅	Fe ₂₆	Co ₂₇	Ni ₂₈	Cu ₂₉
	1.64	1.45	1.31	1.25	1.37	1.24	1.25	1.25	1.28
II श्रेणी	Y ₃₉	Zr ₄₀	Nb ₄₁	Mo ₄₂	Tc ₄₃	Ru ₄₄	Rh ₄₅	Pd ₄₆	Ag ₄₇
	1.80	1.59	1.43	1.36	1.32	1.33	1.35	1.38	1.44
III श्रेणी	La ₅₇	Hf ₇₂	Ta ₇₃	W ₇₄	Re ₇₅	Os ₇₆	Ir ₇₇	Pt ₇₈	Au ₇₉
	1.88	1.56	1.43	1.37	1.37	1.34	1.36	1.39	1.44

सारणी 6. प्रथम आयनन ऊर्जा (Kcal/mol)

Sc	Ti	V	Cr	Mn	Fe	Co	Ni	Cu
152.8	159.5	156.5	157.5	172.9	183.5	182.5	177.5	179.6
Y (150)	Zr	Nb	Mo	Tc	Ru	Rh	Pd	Ag
	159.5	160.2	165.5	169.5	171.3	173.5	193.5	176.2
La	Hf	Ta	W	Re	Os	Ir	Pt	Au
130.5	161.5	183.5	185.5	183.5	201.5	201.5	211.5	214.5

Separation of Ln. Salts

Old Classical methods

- (A) पूर्णांशी (fractional) crystallisation
- (B) पूर्णांशी अवक्षेपण
- (C) पूर्णांशी उष्मीय विघटन
(fractional thermal decomposition)
- (D) valency change

Modern methods

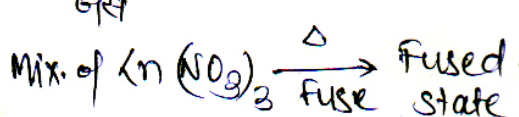
- (A) Ion-exchange method
- (B) Solvent extraction method
- (C) Paper chromatography
- (D) Gas chromatography
- (E) TLC method

Old Methods

(B) Fractional Crystallisation :- Ln_3^+ के hydroxides की base strength $\text{La}(\text{OH})_3 < \text{Ce}(\text{OH})_3$ तक विभिन्न है, अतः कौनसी जिसी अवक्षेपण (जैसे NH_4OH) की सीमित मात्रा डालते हुए तभी $\text{Ce}(\text{OH})_3$, सर्वप्रथम अवक्षेपित दोहरा हुआ अंतः में $\text{La}(\text{OH})_3$ precipitate होगा। इस प्रक्रिया की ओर बाहर छोड़कर, सभी $\text{Ln}(\text{OH})_3$ की रासायनिकता उत्तम है।

(A) fractional Crystallisation :- Ln_3^+ के salts की solubility $\text{La}^{(III)}$ से Ce तक विभिन्न है। अतः सर्वप्रथम Ce के salt के crystal लेन्चीं तक अवैध अर्थात् La के साथ लेन्चीं। Ln_3^+ की समानांतरा जैसी Nitrate, sulphate, bromate, perchlorate तथा oxalate के crystals प्राप्त होते हैं।

(C) fractional thermal decomposition ! - Ln_3^+ के oxy salts (जैसे Nitrate, sulphate etc) की गरम ऊर्जा पर विघटित हो जाते हैं तब उनकी decomposition temp. La से Ce तक विभिन्न है।



जैसे जल के लालां सीखते हैं

→ १ समूह के लालां कम कार्य होते हैं काला conc. होते जाते हैं।
जल के साथ के समूह के Ln_3^+ आ जाते हैं।

② Valency change method! - इस प्रक्रिया हारा कुर्यात् नहीं होता। Ce तथा Eu की Ln³⁺ के मिशन से separate किया जा सकता है। जैसे Ln³⁺ में किसी KMnO₄ विधि के ब्रोमेट सल्यूशन की तरह Ce³⁺ द्वारा Ce⁴⁺ में बदल दिया है। और Ce⁴⁺ की Ce(OH)₄, CeO₂ अवयव कार्य लगती है जो से में अपवृण्ण (ppt) होता है। इसी Ln³⁺ ions के विशेषताएँ हैं।

* Ce⁴⁺ की Nitric acid solution में से, Ln³⁺ ions से पृथक करने के लिए, t-butyl phosphate का भी उपयोग किया जाता है। इस method में 40% Ce की मिशन विशेषताएँ में से 99% शुद्ध Ce प्राप्त किया जा सकता है।

अधि Ln³⁺ ions के मिशन को Zinc-Amalgam के साथ अपवर्ण कराये जाते ही Ln³⁺ का अपवर्ण Eu²⁺ ही होता है। जिसकी EuSO₄ के से में ppt जरूर होता है।

Modern Methods (separation of Ln³⁺ ions)

③ Ion exchange method! - An aqueous solution of Ln³⁺ ions is run down through a column of synthetic ion exchange resin such as Dowex-50 (It is a sulphonated polystyrene and contains the functional group -SO₃H). The Ln³⁺ ions are absorbed on the resin and replace the hydrogen atoms on -SO₃H.



The H⁺ ions produced are washed through the column by water. Now Ln³⁺ ions are eluted निकाला जाता है।

25

परमिति Partition coefficient (K) का मान, अपेक्षित मान से छोटा है।
 क्षेत्रीय $\text{La}(\text{NO}_3)_3$ व $\text{Gd}(\text{NO}_3)_3$ का Concn. HNO_3 द्वारा TBP में $K = 1$
 मान $1 : 1.06$ होता है। solvent extraction तंत्री से संबंधित कुर्सी
 के लिए अनवरत प्रयोगशाला उपकरण (continuous counter-current
 apparatus) का उपयोग करते हैं। Gd को पृथक करने की अपेक्षा
 गलत विधि है। TBP की अपेक्षा अच्युत तत्त्वम् विलायत निम्न है।

① Di(2-ethylhexyl)phosphoric acid

② $(\text{RO})_2\overset{\text{P}}{\underset{\text{O}}{\text{P}}}(\text{R})_2$, ③ 1,3-diketone, ④ 8-quinalidol

⑤ Paper chromatography:- Ln^3+ में La से या नहीं R_f के

मान क्रमशः बहुत बड़ी है।

Ln^{3+} की Atomic no. व R_f में संबंध

Ln^{3+}	La	Ce	Pr	Sm	Eu	Gd	Dy	Fm	Yb
R_f	.92	.91	.90	.76	.64	.51	.12	.06	.03

इसके लिए निम्न पैपर व एल्यूएंट विलायत के उपयोग करते हैं।

(i) .1M 2-ethylhexyl orthophosphoric अम्ल में गोला दुर्ज CRL/I

पैपर और 1.0M HCl विलायत

(ii) वायरमन लॉन्पैपर व एल्यूएंट अल्फाहर अल्कोहल (eluent)

(iii) वायरमन एल्क्युलेट पैपर DE-20 तथा 3M HNO_3 & 80% $\text{CH}_2\text{O}_2\text{H}$ (eluent)

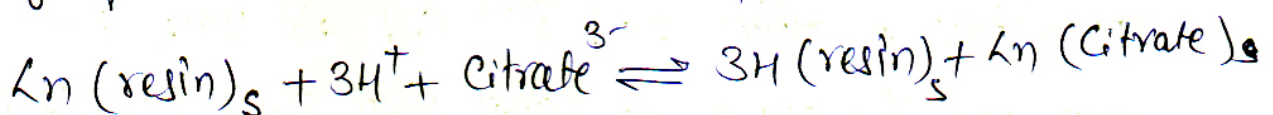
⑥ Gas chromatography:- Ln and An complexes such as

$\text{Ln}(\text{L-L})_3$ and $\text{An}(\text{L-L})$ of sterically hindered

β -diketonates [e.g. $\text{Me}_2\text{C}(\text{O})-\text{CH}-\text{C}(\text{O})\text{Me}_2$] (dfpm) and

$[\text{CF}_3\text{C}(\text{F})\text{CF}_2-\text{C}(\text{O})-\text{CH}-\text{C}(\text{O})\text{Me}_2]^{\ominus}$ (fod) are volatile and stable

by a eluting agent which is a complexing agent. A buffer solution of citric acid/ammonium citrate ($\text{pH} = 4 \text{ to } 7$) or a dilute solution of $(\text{NH}_4)_3\text{EDTA}$ may be used as eluting agent. During elution an equilibrium is set up



Since $\text{Lu}^{3+}_{\text{aq.}}$ is largest in size and $\text{La}^{3+}_{\text{aq.}}$ is smallest, i.e. $\text{Lu}^{3+}_{\text{aq.}}$ is attached to the resin in the column with maximum firmness and $\text{La}^{3+}_{\text{aq.}}$ with minimum firmness. It means during elution Lu^{3+} forms stronger complex with citrate ions than La^{3+} ions. Thus Lu -citrate complex comes out of the column first and La -citrate complex comes out last. The solution leaving the column is collected by means of an automatic fraction collector in separate containers.

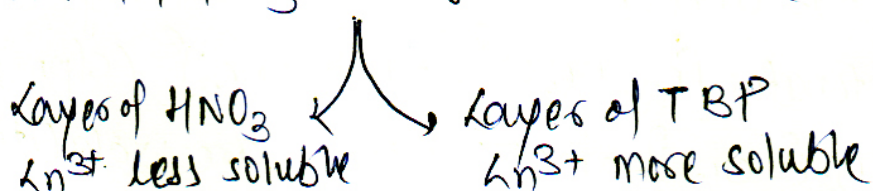
In actual Practice, the process of elution is to be repeated several times.

Imp.! - Order in which Ln^{3+} ions comes out from the column.



(B) Solvent Extraction Method:-

Ln^{3+} ions in HNO_3 + Organic solvent (tributyl phosphate) ^{conc.}



अिन्हें अन्तर्वाले Lns के complexes के अंतर्गतीय की volatility अलग अलग होती है। जैसे अंतर्वाले benzene में अपश्चित्त होती है। इसी प्रकार Ln^{3+} ions की 2,2,6,6-tetraethyl-3,5-heptanedione ligand के साथ बनी वाली अंतर्वाले $\text{Ln}(\text{PHD})_3$ ने अपश्चित्त होती है।

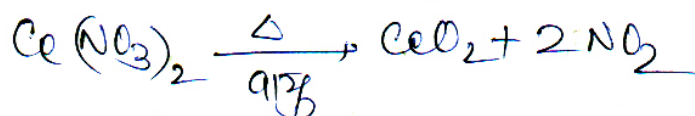
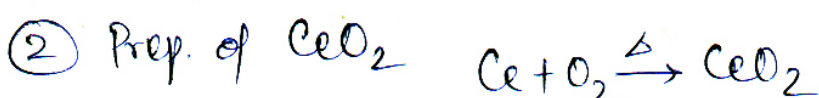
④ Isolation of metals → अवृक्षित methods के द्वारा, प्राप्त salts की free metal निकालना और प्राप्त कर सकते हैं।

(i) Metallocothermic reduction of the salts:- इस method में Lns की chloride तथा fluoride salts की Calcium के साथ, 1000°C तक पर तैरानम के द्वारा में Reduction करताया जाता है। जिससे Ln-Ca मिश्र धातु बनती है जिससे Ca vapourise होकर निकल भागती है तथा Ln अपारुण्य डायग्य में प्राप्त होती है।

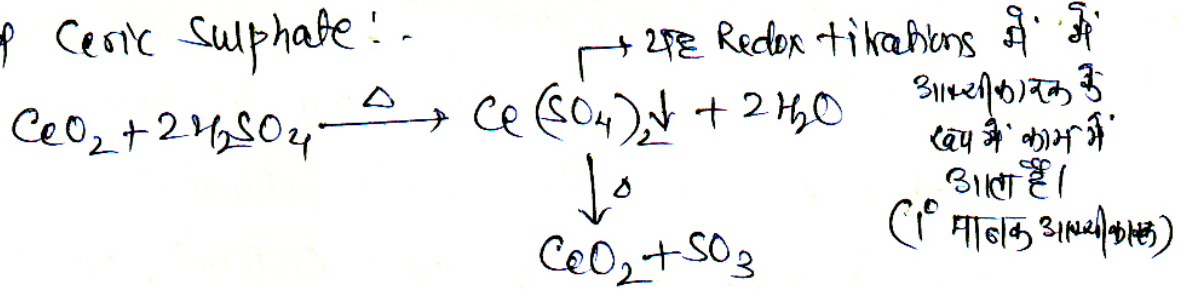
(ii) Thermal decomposition of Ln-Hg amalgam:- यदि Hg के cathode लेन्डर, Ln^{3+} प्रिन्सिपल के electrolysis करताया जाता है। तो cathode के amalgam यानि होता है। Amalgam की तरफ उसके, Lns की महीने रूप के रूप में प्राप्त करते हैं।

Compounds of Lns

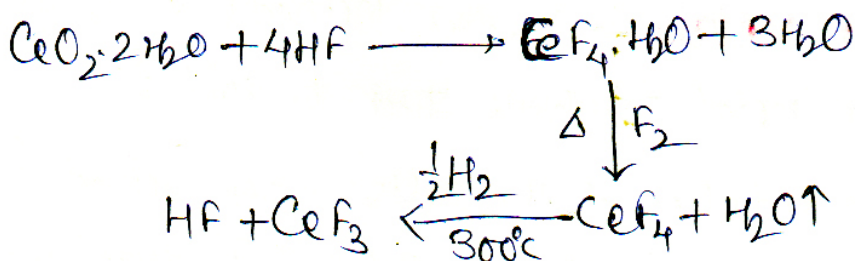
① Lns, VA group के लेखभाग सभी N, P, As, Sb & Bi के साथ AB प्रकार के 2+1/2 के लगाती हैं। (Prinicide = निकास्ट)



③ Prep. of Ceric Sulphate :-

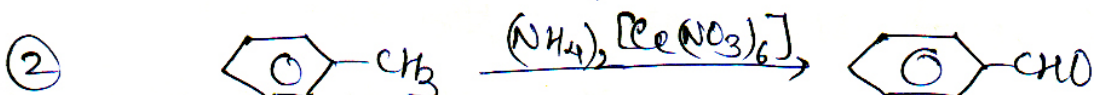


④ Prep. of CeF_4 :-



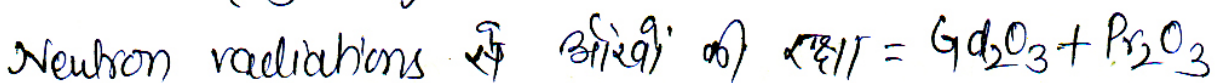
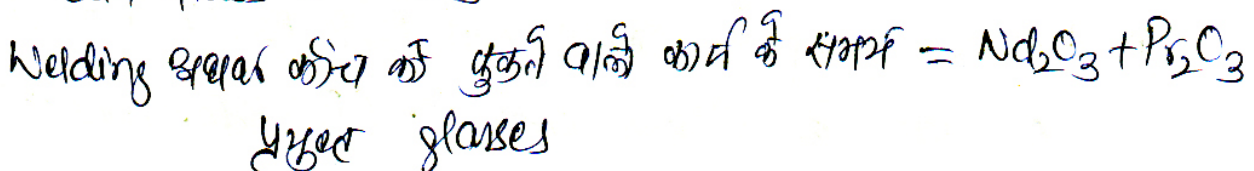
Applications

① Ce IV → यह बनावटक के रूप में।

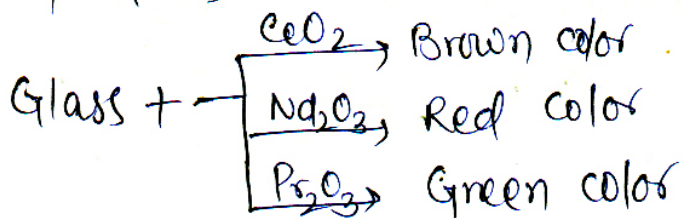


③ Nuclear reactors में जल में ऊर्ध्व वर्ण त्रांसपरेंट
glass slabs में 1% CeO_2 का उपयोग करते हैं; इससे
radiations का प्रभाव नहीं लेता है।

④ Ln_2O_3 में UV radiations के absorption के लिए होते हैं



④ Color of Glass



⑤ Abrasives → ~~Garnet~~ (Polirite) = $47\% \text{ CeO}_2, 51\% \text{ La}_2\text{O}_3 + \text{Pr}_2\text{O}_3$,
 \downarrow
 342% → Glass polish $2\% \text{ SiO}_2 + \text{CaO} + \text{Fe}_2\text{O}_3$

⑥ Dimals = Germicide = Salicylate of Pr dalt Nd

⑦ In the formation of atomic batteries → Pr^{147}

⑧ Misch metal → Alloy consist = 50% Ce, 25% La, 15% Nd &
 10% other Lns + Fe

- Uses of Misch metal →
- ① Misch metal + Fe = flint
 (Spark producing agent)
 in cigarette lighters & other similar devices.
 - ② deoxidizes in various alloys
 - ③ Removes Oxygen in vacuum tubes
 - ④ Misch metal + Mg → High strength metal (Aeroplanes.)

Actinides (Ans)

Element	Symbol	Outer El. Conf.	Oxidation states	Atomic radius (A)	R_m^{3+}/R_m^{2+}
① Actinium	89Ac	$6d^1 7s^2$	+3	1.88	
② Thorium	90Th	$6d^2 7s^2$	(B) +4	1.80	
③ Protactinium	91Pa	$5f^2 6d^1 7s^2$	(B) 4, +5	1.61	
④ Uranium	92U	$5f^3 6d^1 7s^2$	3, 4, 5, 6, 7	1.38	
⑤ Neptunium	93Np	$5f^4 6d^1 7s^2$	3, 4, 5, 6, 7	1.30	
⑥ Plutonium	94Pu	$5f^6 7s^2$	3, 4, 5, 6, 7	1.51	
⑦ Americium	95Am	$5f^7 7s^2$	2, 3, 4, 5, 6,		
⑧ Curium	96Cm	$5f^7 6d^1 7s^2$	3, 4		$\rightarrow -5$
⑨ Berkelium	97Bk	$5f^9 7s^2$	3, 4		$\rightarrow -3.4$
⑩ Californium	98Cf	$5f^{10} 7s^2$	(2), 3		$\rightarrow -1.9$
⑪ Finstenium	99Fs	$5f^{11} 7s^2$	(2), 3		$\rightarrow -1.6$
⑫ Fermium	100Fm	$5f^{12} 7s^2$	(2), 3		$\rightarrow -1.3$
⑬ Mendelevium	101Md	$5f^{13} 7s^2$	(2), 3		$\rightarrow -1.5$
⑭ Nobelium	102Nb	$5f^{14} 7s^2$	2		$\rightarrow +1.4$
⑮ Lawrencium	103Lr	$5f^{14} 6d^1 7s^2$	3		

- * O.S. in small brackets are unstable
- * The most abundant and stable oxidation states shown in bold.

Actinides shows more oxidation states

as well as higher oxidation states, bcoz removal of es from 5f-subshell is easy than 4f subshell due to more diffused structure of 5f subshell than 4f subshell.

It is expected that after Ac, the 5f-orbitals would become lower in energy than the 6d orbitals. But the difference in energy between 5f

and 6d orbitals is small for four actinide elements Th, Pa, U and Np. Thus in these elements (and their ions) electron may occupy the 5f or the 6d level or sometimes both. Later in actinide series the 5f orbitals do become appreciably lower in energy. Thus from Pu onwards, the 5f subshell fills in a regular way, and the elements become very similar.

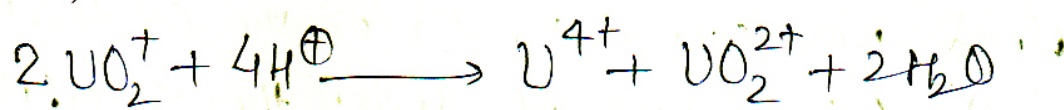
Due to this, there are many similarities between the Lns and the post actinides.

Before 1940, the only actinides known were Th, Pa and U. Elements have atomic no. higher than $_{92}\text{U}$ are sometimes called trans-uranic elements.

Oxidation states

- * **+3** is not the most stable oxidation state for the Th, Pa, U, Np and Pu. e.g. U^{3+} is readily oxidised in air, and in solution.
- * **+3** state is the most stable state for the later elements $_{95}\text{Am} \rightarrow {}_{103}\text{Lr}$ (excluding No). Their properties are similar to those of the Lns.
- * The **+6** state exists as fluorides and dioxo ions MF_6^- ($\text{M} = \text{U}, \text{Np}, \text{Pu} \& \text{Am}$)
 $\text{MO}_2^{2+} \Rightarrow [\text{O}=\text{M}= \text{O}]^{2+}$ linear and stable.

- * Generally MO_2^+ (e.g. UO_2^+) ions disproportionate rapidly in solution, but are found in solid state compounds.



- * The +2 state is quite rare. Am^{2+} is the analogue of Eu^{2+} . Am^{2+} only exists in the solid as the fluoride. In contrast Cf^{2+} , Er^{2+} , fm^{2+} , Md^{2+} and No^{2+} exist as ions in solution. Their properties are like the group 2 metals particularly Ba^{2+} . **+2 state is most stable state for No.**

Actinide Contraction

It is same as Lanthanide contraction. Actinide contraction is greater for consecutive An's, in comparison to consecutive Ln's due to more diffused structure of 5f-orbitals as compare to 4f orbitals. So that shielding is lesser in Aⁿ⁺ for 5f orbitals.

Complex formation

- * Due to high charge density and more diffused structure of 5f orbitals, actinides can form more & strong complexes than Ln's.
- * 4f orbitals of Ln's do not participate in bonding but 5f orbitals can participate in bonding.
- * The participation of the 5f orbitals explain the higher

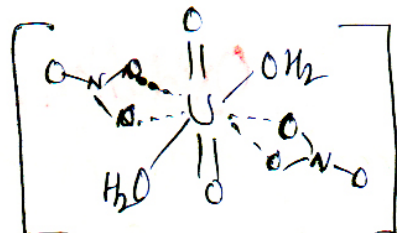
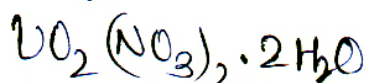
Oxidation states shown by the earlier actinides.

- * Since Lanthanides can form complexes only with anions and neutral species but actinides can also form complexes with π -ES containing organic ligands (e.g., CO, PR₃ etc.)

Examples

① Mg[Th(NO₃)₆] :- Co-ordination no. of Th = 12,
Shape = Octahedral ; * NO₃⁻ = bidentate ligand.

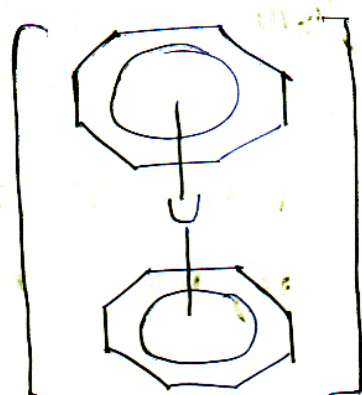
② Uranyl nitrate dihydrate



③ Actinocene : The non planar cyclooctatetraene molecule becomes planar on reaction with an actinide metal like K



When this dianion is allowed to react with Ac⁴⁺ such as U⁴⁺, Np⁴⁺, Th⁴⁺, Pa⁴⁺ and Pu⁴⁺, a neutral metallocene results



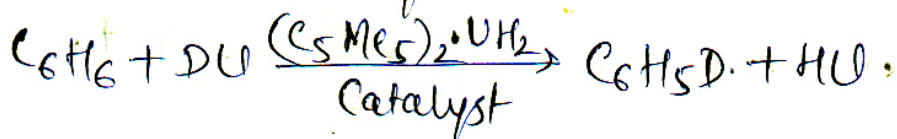
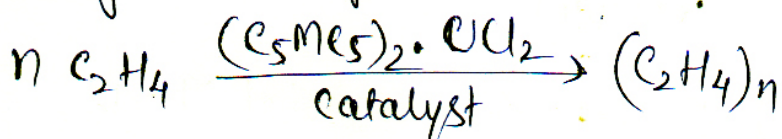
← Structure of Urancene showing the two eclipsed cyclooctatetraenyl rings.

* Some structure can be drawn for Neptunocene & plutonocene.

Fig. - Urancene

④ Actinides ने high charge density होती है, इस करणे समेत complex formation की nature, क्षेत्र अपेक्षित होता है। Actinides halide, nitrate, oxalate, carbonate जैसे ligands के साथ stable complex बनते हैं।

⑤ Catalytic activity:-



Oxidation Properties

① Increasing order of oxidising power in +6 state



② AmO_2 is strong oxidising agent as KMnO_4 .

③ Very strong oxidation of alkaline solutions of NpO_2^{2+} and PuO_2^{2+} with ozone or HFO_4^- yields the +7 state which has been isolated as $\text{Li}_5[\text{NpO}_6]$ and $\text{Li}_5[\text{PuO}_6]$. The +7 state is strongly oxidising state.

Magnetic Properties

Pre Actinides के magnetic moment ने आवा, अपेक्षा के कम होता है और वे 5f-orbitals जैसे diffuse होते हैं तथा, Orbital motion द्वारा उपर्युक्त M.M., ligands द्वारा quench कर दिया जाता है। लेकिन Post actinides ने, M.M., कोडे के समान जैसे उपर्युक्त होता है।

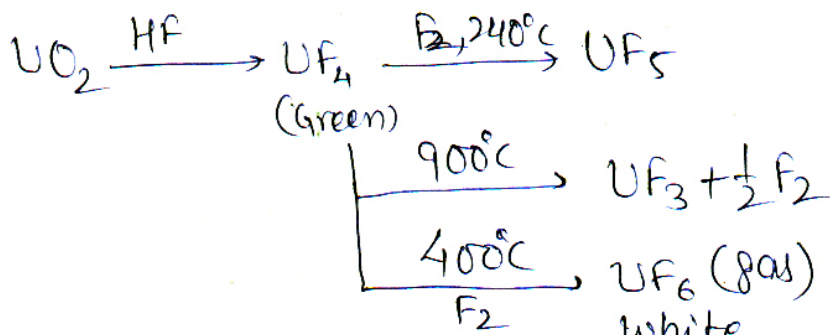
Chemistry of Uranium

Ores \rightarrow Oxides \Rightarrow UO_2 (Pitchblende), U_3O_8 , UO_3

(जैव खनी ऑक्साइडों के द्वितीय हाइड्रोजन)

Color \rightarrow UO_2 (brown black), U_3O_8 (greenish black), UO_3 (orange yellow)

Reactions -



Isotopes of U \rightarrow जैव में U के द्वितीय हाइड्रोजन के अणुओं के बीच विभिन्न अणु होते हैं।

U^{235} (1.1%) और U^{238} (98.9%) यही होते हैं।

\downarrow \downarrow
good Nuclear fuel good Nuclear fuel

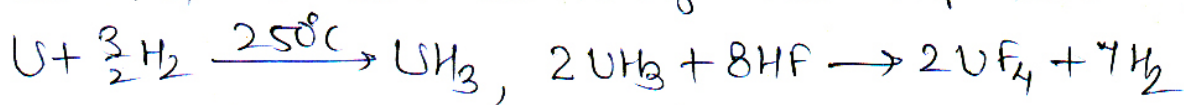
Separation of isotopes of U \rightarrow उसके अणुओं को अलग करने के लिए विभिन्न विधि विधियाँ होती हैं।

(A) Thermal diffusion (B) Gaseous diffusion

(C) Electromagnetic separation (D) Gas centrifuge होता है।

* Large scale separation is now carried out using the different rates of diffusion of gaseous UF_6^{235} & UF_6^{238} . (UF_6^{235} (लम्बा) का diffusion, UF_6^{238} (लंबा) का तेज होता है।)

* Uranium reacts with hydrogen even at room temp., though reaction is faster at 250°C , giving UH_3 as a black powder. The hydride is very reactive, and is often more suitable than the metal for making other compounds.



36

Colours of Actinides

Actinides shows colours due f-f transitions and in some cases it is happened due to f-d transitions because 5f and 6d orbitals have approximately same energy. The colours of actinides are affected by ligands to some extent due to exposed structure of 5f orbitals. e.g.

NpF ₃	Purple black
NpCl ₃	White
NpBr ₃	Green
NpI ₃	Brown

NpF ₄	Green	PuF ₃ -Purple
NpCl ₄	Red brown	PuCl ₃ - ^{emerald} Green
NpBr ₄	Red brown	PuBr ₃ -Green

Spectral Properties of actinides

Spectral lines from the actinides are about ten times as intense as those from the Lanthanides. Pa, U, Np, Pu and Cm have very sharp lines in their absorption spectra which is a characteristic feature of f-f spectra. If there is only one electron present, there will be only one peak in the spectrum, and therefore it will be easy to interpret. Usually the spectra are always very complex and are very difficult to interpret.

- * All isotopes of Pu are used as nuclear fuel.
- * ThF₂ is a good electrical conductor ($\text{ThF}_2 \rightarrow \text{Th}^{4+} + 2\text{F}^- + 2e^-$ Conduction band).
- * $[\text{Eu}(\text{NO}_3)_6]^{2-}$ → Icosahedral structure.

Ground State Term Symbols of Ln^{3+} ions * (37)

Ion	$4f^n$	$2S+1$	$L = \sum m_j$	g value	G.S.T.S.	N_J (calculated)
① La^{3+}	0	1	0	<u>1</u>	$1S_0$	
② Ce^{3+}	$4f^1$	2	3	$6/7$	$2F_{5/2}$	
③ Pr^{3+}	$4f^2$	3	5	$4/5$	$3H_4$	
④ Nd^{3+}	$4f^3$	4	6	$8/11$	$4I_{9/2}$	
⑤ Pm^{3+}	$4f^4$	5	6	$3/5$	$5I_4$	
⑥ Sm^{3+}	$4f^5$	6	5	$2/7$	$6H_{5/2}$	
⑦ Eu^{3+}	$4f^6$	7	3	—	$7F_0$	
⑧ Gd^{3+}	$4f^7$	8	0	2	$8S_{7/2}$	
⑨ Tb^{3+}	$4f^8$	7	3	$3/2$	$7F_6$	
⑩ Dy^{3+}	$4f^9$	6	5	$4/3$	$6H_{15/2}$	
⑪ Ho^{3+}	$4f^{10}$	5	6	$5/4$	$5I_8$	
⑫ Er^{3+}	$4f^{11}$	4	6	---	---	
⑬ Tm^{3+}	$4f^{12}$	3	5	$-7/6$	$3H_6$	
⑭ Yb^{3+}	$4f^{13}$	2	3	---	---	
⑮ Lu^{3+}	$4f^{14}$	1	0	---	$1S_0$	

* रिक्त क्षात्री की एवं पुति करें।

* N_J के मान को calculate करें तभी Page-13 पर लिखें मान, की वापना Answer, check करें।